



УДК 532.5

К.В. Кириллин, Д.А. Петрова, С.И. Филиппов

ОБТЕКАНИЕ КРУГОВОГО ЦИЛИНДРА В ОТКРЫТОМ КАНАЛЕ

Рассмотрим поток идеальной несжимаемой весомой жидкости плотности ρ . Поток, в котором находится круговой цилиндр C , имеет свободную поверхность и ограничен снизу дном на глубине H . В системе координат (рис. 1), связанной с контуром, течение плоскопараллельное, установившееся, потенциальное. Скорость потока на бесконечности равна $-U_0$.

Согласно заимствованному из физики закону Лапласа, увеличение давления при пересечении поверхности жидкости пропорционально средней кривизне этой поверхности, то есть

$$p - p_0 = \alpha \left(\frac{1}{R_1} + \frac{1}{R_2} \right), \quad (1)$$

где p – давление внутри жидкости, p_0 – постоянное атмосферное давление, R_1, R_2 – главные радиусы кривизны поверхности, которые будут положительны, если соответствующий центр кривизны находится внутри жидкости, α – коэффициент поверхностного натяжения, величина которого зависит от температуры и физических свойств жидкости. Для плоских движений $R_2 = \infty$ и в формуле (1) имеет место только первое слагаемое, которое для волн малой амплитуды равно $-\alpha \partial^2 \eta / \partial x_1^2$, где $\eta(x_1)$ – возвышение свободной поверхности.

Из интеграла Бернулли и условия, что частица жидкости, принадлежащая ее поверхности, остается все время движения на поверхности, получим следующие граничные условия для потенциала вызванных

скоростей:

$$U_0 \frac{d\eta}{dx_1} + \frac{\partial \varphi}{\partial y_1} = 0, \quad \eta = \frac{U_0}{g} \frac{\partial \varphi}{\partial x_1} + \frac{\alpha}{\rho g} \frac{d^2 \eta}{dx_1^2} \quad (2)$$

Введем функцию тока $\Psi(x_1, y_1)$, соответствующую потенциалу $\varphi(x_1, y_1)$, тогда первое условие (2) можно записать в виде

$$U_0 \frac{d\eta}{dx_1} = \frac{\partial \Psi}{\partial x_1} \quad \text{при} \quad y_1 = 0.$$

Интегрируя его, получим

$$\eta = \frac{1}{U_0} \Psi(x_1, 0). \quad (3)$$

Подставив (3) во второе условие (2), найдем

$$\frac{\alpha}{\rho g} \frac{\partial^2 \Psi}{\partial x_1^2} + \frac{U_0^2}{g} \frac{\partial \varphi}{\partial x_1} - \Psi = 0 \quad \text{при} \quad y_1 = 0. \quad (4)$$

Введем комплексный потенциал течения $W(z_1) = \varphi(x_1, y_1) + i\Psi(x_1, y_1)$, тогда условие (4) можем записать в виде

$$\text{Re} \left(\frac{\alpha}{\rho g} \frac{d^2 W}{dz_1^2} - \frac{U_0^2}{g} \frac{dW}{dz_1} - iW \right) = 0, \quad y_1 = 0. \quad (5)$$

На цилиндре C выполняется условие

$$\text{Im} W(z_1) = U_0 y_1 + \Psi_0, \quad z_1 \in C, \quad \Psi_0 = \text{const.}$$

На дне канала

$$\text{Im} (dW / dz_1) = 0 \quad (y_1 = -H).$$

Кроме того, должны выполняться условия на бесконечности, обеспечивающие ограниченность скоростей возмущений вне окрестности C , и условие излучения волн. Условие излучения будем задавать в соответствии с практическими наблюдениями. Согласно практическим наблюдениям более длинные волны, в образовании которых главную роль играет весомость, развиваются за телом, а более короткие волны, связанные по преимуществу с капиллярностью, распространяются вверх по течению [1]. Отметим, что в противовес чисто капиллярным и чисто гравитационным волнам смешанные волны существуют только при числах Фруда $Fr \geq Fr^*$, где Fr^* – некоторое минимальное, отличное от нуля,

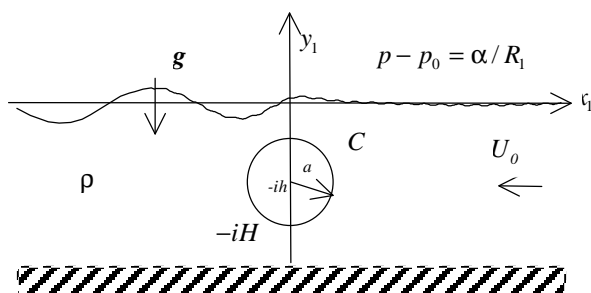


Рис. 1



критическое значение.

Для решения задачи применим метод моделирования поверхностей раздела двойными слоями [2]. Будем отыскивать комплексный потенциал течения в виде

$$W(z_1) = W_\infty(z_1) + \sum_{k=1}^2 [V_k(z_1) + \phi_k(z_1)], \quad (6)$$

$$W_\infty(z_1) = -\frac{U_0 a^2}{z_1 + ih},$$

$$V_1(z_1) = \frac{1}{2\pi i} \int_{-\infty}^{\infty} \frac{\mu_1(t_1)}{z_1 - t_1} dt_1,$$

$$\phi_1(z_1) = \frac{1}{2\pi i} \oint_{L_1} \frac{\mu_1(\zeta_1) d\zeta_1}{z_1 - \zeta_1},$$

$$V_2(z_1) = \frac{1}{2\pi i} \int_{-\infty}^{\infty} \frac{\mu_2(t_2)}{z_1 - t_2 + iH} dt_2,$$

$$\phi_2(z_1) = \frac{1}{2\pi i} \oint_{L_2} \frac{\mu_2(\zeta_2) d\zeta_2}{z_1 - \zeta_2},$$

$$\zeta_1(t_1) = -ih + \frac{a^2}{t_1 - ih}, \quad \zeta_2(t_2) = -ih + \frac{a^2}{t_2 + ih_1},$$

$$h_1 = H - h,$$

где контуры L_1 и L_2 получены инверсией линий $y_1 = 0$ и $y_1 = -H$ в окружности C и интегрирование по L_k идет в отрицательном направлении. Представление потенциала в форме (6) позволяет точно удовлетворить условию на контуре.

Плотность распределенных особенностей определяется из условий на свободной поверхности и дне. Подставив комплексный потенциал (6) в (5), получим

$$\operatorname{Re} \left\{ \frac{\alpha i}{\rho g} \frac{d^2 V_1}{dz_1^2} - \frac{U_0^2}{g} \frac{dV_1}{dz_1} - iV_1 + \frac{\alpha i}{\rho g} \frac{d^2 \Omega(z_1)}{dz_1^2} - \frac{U_0^2}{g} \frac{d\Omega(z_1)}{dz_1} - i\Omega(z_1) \right\}_{z_1=x_1-i0} = 0, \quad (7)$$

$$\text{где } \Omega(z_1) = V_2(z_1) + \phi_1(z_1) + \phi_2(z_1) + W_\infty(z_1).$$

Уравнение (7) при $z_1 = x_1$ равносильно следующему:

$$\operatorname{Re} \left\{ \frac{\alpha i}{\rho g} \frac{d^2 V_1}{dz_1^2} - \frac{U_0^2}{g} \frac{dV_1}{dz_1} - iV_1 - \frac{\alpha i}{\rho g} \frac{d^2 \bar{\Omega}(z_1)}{dz_1^2} - \frac{U_0^2}{g} \frac{d\bar{\Omega}(z_1)}{dz_1} + i\bar{\Omega}(z_1) \right\} = 0.$$

Поскольку теперь под знаком действительной части стоит функция, регулярная в полуплоскости $y_1 \leq 0$, то она совпадает с чисто мнимой постоянной

$$\frac{\alpha i}{\rho g} \frac{d^2 V_1}{dz_1^2} - \frac{U_0^2}{g} \frac{dV_1}{dz_1} - iV_1 + \left(-\frac{\alpha i}{\rho g} \frac{d^2}{dz_1^2} - \frac{U_0^2}{g} \frac{d}{dz_1} + i \right) [\bar{\Omega}(z_1)] = c_0 i, \quad (8)$$

где c_0 – вещественная постоянная. Не нарушая общности решения, можно положить $c_0 = 0$. Рассмотрим (8) как дифференциальное уравнение относительно $V_1(z_1)$. Общее решение уравнения можно получить методом вариации постоянных:

$$V_1(z_1) = c_1 \exp(s_1 z_1) + c_2 \exp(s_2 z_1), \quad (9)$$

$$s_1 = -\frac{\rho U_0^2 i}{2\alpha} (1 + s_0), \quad s_2 = -\frac{\rho U_0^2 i}{2\alpha} (1 - s_0),$$

$$s_0 = \sqrt{1 - 4\alpha g / (\rho U_0^4)},$$

$$c_1(z_1) = \frac{g}{U_0^2 s_0} \int \exp(-s_1 z_1) A(z_1) dz_1,$$

$$c_2(z_1) = -\frac{g}{U_0^2 s_0} \int \exp(-s_2 z_1) A(z_1) dz_1,$$

$$A(z_1) = \left(\frac{\alpha i}{\rho g} \frac{d^2}{dz_1^2} + \frac{U_0^2}{g} \frac{d}{dz_1} - i \right) [\bar{\Omega}(z_1)].$$

Необходимо назначить пределы интегрирования у неопределенных интегралов формул (9). Для этого необходимо применить принятые нами условия излучения волн. Параметр s_1 относится к волнам, в образовании которых основную роль играет капиллярность, поэтому нижний предел интегрирования в формуле для $c_1(z_1)$ возьмем равным $-\infty$, а верхний предел – равным z_1 . Параметр



s_2 характеризует волны, в образовании которых основную роль имеет сила весомости, то есть в формуле для $c_2(z_1)$ нижний предел следует взять равным ∞ , а верхний – равным z_1 . Таким образом,

$$V_1(z_1) = \frac{g}{U_0^2 s_0} \exp(s_1 z_1) \int_{-\infty}^{z_1} \exp(-s_1 z_1) A(z_1) dz_1 - \frac{g}{U_0^2 s_0} \exp(s_2 z_1) \int_{\infty}^{z_1} \exp(-s_2 z_1) A(z_1) dz_1.$$

Меняя порядок интегрирования, найдем:

$$V_1(z_1) = \frac{g}{U_0^2 s_0} \left\{ \exp(s_1 z_1) \int_{-\infty}^{z_1} \exp(-s_1 \lambda) I(\lambda) d\lambda - \exp(s_2 z_1) \int_{\infty}^{z_1} \exp(-s_2 \lambda) I(\lambda) d\lambda + \frac{\exp(s_1 z_1)}{2\pi i} \oint_{L_1} \left[\int_{-\infty}^{z_1} \exp(-s_1 \lambda) D_1(\lambda, \bar{c}_1) d\lambda \right] \mu_1(\zeta_1) d\bar{c}_1 - \frac{\exp(s_2 z_1)}{2\pi i} \oint_{L_1} \left[\int_{\infty}^{z_1} \exp(-s_2 \lambda) D_1(\lambda, \bar{c}_1) d\lambda \right] \mu_1(\zeta_1) d\bar{c}_1 + \frac{\exp(s_1 z_1)}{2\pi i} \int_{-\infty}^{\infty} \left[\int_{-\infty}^{z_1} \exp(-s_1 \lambda) D_3(\lambda, t_2) d\lambda \right] \mu_2(t_2) dt_2 - \frac{\exp(s_2 z_1)}{2\pi i} \int_{-\infty}^{\infty} \left[\int_{-\infty}^{z_1} \exp(-s_2 \lambda) D_3(\lambda, t_2) d\lambda \right] \mu_2(t_2) dt_2 + \frac{\exp(s_1 z_1)}{2\pi i} \oint_{L_2} \left[\int_{-\infty}^{z_1} \exp(-s_1 \lambda) D_2(\lambda, \bar{c}_2) d\lambda \right] \mu_2(\zeta_2) d\bar{c}_2 - \frac{\exp(s_2 z_1)}{2\pi i} \oint_{L_2} \left[\int_{-\infty}^{z_1} \exp(-s_2 \lambda) D_2(\lambda, \bar{c}_2) d\lambda \right] \mu_2(\zeta_2) d\bar{c}_2 \right\},$$

$$I(\lambda) = \frac{-2\alpha i U_0 a^2}{\rho g (\lambda - ih)^3} + \frac{U_0^3 a^2}{g (\lambda - ih)^2} + \frac{U_0 a^2 i}{\lambda - ih},$$

$$D_k(\lambda, \bar{c}_k) = \frac{-2\alpha i}{\rho g (\lambda - \bar{c}_k)^3} + \frac{U_0^2}{g (\lambda - \bar{c}_k)^2} + \frac{i}{\lambda - \bar{c}_k} \quad (k=1, 2),$$

$$D_3(\lambda, t_2) = \frac{-2\alpha i}{\rho g (\lambda - t_2 - iH)^3} + \frac{U_0^2}{g (\lambda - t_2 - iH)^2} + \frac{i}{\lambda - t_2 - iH}.$$

Находя действительную часть предела (10) при $z_1 \rightarrow x_1 - i \cdot 0$ с учетом ранее введенного представления для $V_1(z_1)$ (предельный переход в сингулярном интеграле осуществляется по формуле Сохоцкого), выделяя действительную часть полученного выражения и применяя интегрирование по частям, найдем:

$$\mu_1(x_1) = \sigma_1(x_1) + \int_{-\infty}^{\infty} K_1(x_1, t_1) \mu_1(t_1) dt_1 + \int_{-\infty}^{\infty} K_4(x_1, t_2) \mu_2(t_2) dt_2, \quad (11)$$

$$\sigma_1(x_1) = \frac{2g}{U_0^2 s_0} \operatorname{Re} \left[\frac{\alpha i (\bar{s}_1 - \bar{s}_2)}{\rho g} \frac{U_0 a^2}{x_1 + ih} + E(\bar{s}_1) \exp(\bar{s}_1 x_1) \int_{-\infty}^{x_1} \exp(-\bar{s}_1 \lambda) \frac{U_0 a}{\lambda + ih} d\lambda - E(\bar{s}_2) \exp(\bar{s}_2 x_1) \int_{\infty}^{x_1} \exp(-\bar{s}_2 \lambda) \frac{U_0 a}{\lambda + ih} d\lambda \right],$$

$$K_1(x_1, t_1) = -\frac{1}{\pi} \frac{g}{U_0^2 s_0} \operatorname{Im} \left[\frac{\alpha i}{\rho g} (\bar{s}_1 - \bar{s}_2) H_1(x_1, t_1) + E(\bar{s}_1) \exp(\bar{s}_1 x_1) \int_{-\infty}^{x_1} \exp(-\bar{s}_1 \lambda) H_1(\lambda, t_1) d\lambda - E(\bar{s}_2) \exp(\bar{s}_2 x_1) \int_{\infty}^{x_1} \exp(-\bar{s}_2 \lambda) H_1(\lambda, t_1) d\lambda \right],$$

$$K_4(x_1, t_2) = -\frac{1}{\pi} \frac{g}{U_0^2 s_0} \operatorname{Im} \left[\frac{\alpha i}{\rho g} (\bar{s}_1 - \bar{s}_2) H_2(x_1, t_2) + \frac{\alpha i (\bar{s}_1 - \bar{s}_2)}{\rho g (x_1 - t_2 + iH)} + \right.$$

$$\left. + E(\bar{s}_1) \exp(\bar{s}_1 x_1) \int_{-\infty}^{x_1} \exp(-\bar{s}_1 \lambda) (\lambda - t_2 + iH)^{-1} d\lambda - \right.$$

$$\left. - E(\bar{s}_2) \exp(\bar{s}_2 x_1) \int_{\infty}^{x_1} \exp(-\bar{s}_2 \lambda) (\lambda - t_2 + iH)^{-1} d\lambda + \right]$$



$$+E(\bar{s}_1) \exp(\bar{s}_1 x_1) \int_{-\infty}^{x_1} \exp(-\bar{s}_1 \lambda) H_2(\lambda, t_2) d\lambda -$$

$$-E(\bar{s}_2) \exp(\bar{s}_2 x_1) \int_{\infty}^{x_1} \exp(-\bar{s}_2 \lambda) H_2(\lambda, t_2) d\lambda \Big],$$

$$H_k(\lambda, t_k) = \frac{a^2}{(t_k - ih)^2 [\lambda - \zeta_k(t_k)]},$$

$$E(\bar{s}_j) = -i - \frac{U_0^2}{g} \bar{s}_j + \frac{\alpha i \bar{s}_j^2}{\rho g} \quad (j = 1, 2).$$

Уравнение (11) очевидно легко привести к безразмерному виду. При этом выделяются число Фруда $Fr = U_0 / \sqrt{ga}$ и число Вебера $We_g = \alpha / g\rho a^2$.

Из условия на дне, с учетом преобразования системы координат $z_2 = z_1 + iH$, можно получить второе уравнение для определения μ_k

$$\mu_2(x_2) = \sigma_2(x_2) + \int_{-\infty}^{\infty} K_2(x_2, t_2) \mu_2(t_2) dt_2 +$$

$$+ \int_{-\infty}^{\infty} K_3(x_2, t_1) \mu_1(t_1) dt_1, \quad (12)$$

где ядра K_2 , K_3 и $\sigma_2(x_2)$ имеют вид

$$K_2(x_2, t_2) = -\frac{1}{\pi} \text{Im} \left[\frac{a^2}{(t_2 + ih_1)^2 s_3(x_2, t_2)} \right],$$

$$K_3(x_2, t_1) = -\frac{1}{\pi} \text{Im} \left[\frac{a^2}{(t_1 + ih)^2 s_4(x_2, t_2)} + \frac{1}{x_2 - t_1 - iH} \right],$$

$$s_3(x_2, t_2) = x_2 - ih_1 - a^2 / (t_2 + ih_1),$$

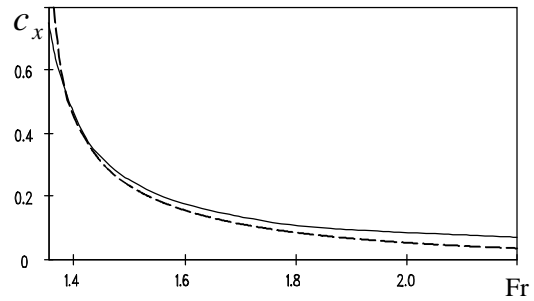


Рис. 2.

$$s_4(x_2, t_1) = x_2 - ih_1 - a^2 / (t_1 - ih),$$

$$\sigma_2(x_2) = -2 \text{Re} [W_{\infty}(x_2)].$$

Решение систем интегральных уравнений (11), (12) осуществлялось численно методом последовательных приближений. На рис. 2 представлен пример расчета коэффициента волнового сопротивления кругового цилиндра $c_x = 2X / (\rho U_0^2 a)$ в зависимости от числа Фруда при $h/a = 4$ и $We_g = 0.806$. Сплошная кривая на рис. 2 соответствует ограниченному потоку при $H/a = 8$, а штриховая – неограниченной снизу жидкости. Можно отметить существенное влияние дна на гидродинамические характеристики цилиндра, а также тот факт, что для ограниченного снизу потока критическое число Фруда (Fr^*) имеет меньшее значение.

Работа поддержана РФФИ (проекты № 05-01-00794, 06-01-00155).

Литература

1. Елизаров А.М., Спиридонов О.А., Филиппов С.И. Обтекание подводного контура с образование капиллярно-гравитационных волн // Изв. вузов. Авиационная техника, №2, 2001. – С.15-17.
2. Филиппов С.И. Гидродинамика крылового профиля вблизи границ раздела. – Казань: Изд-во Казанского математического об-ва, 2004. – 200 с.